

Z8-60

1958

HfCo<sub>2</sub>, HfCr<sub>2</sub>, HfFe<sub>2</sub>, HfMn<sub>2</sub>, A-905  
HfMo<sub>2</sub>, HfV<sub>2</sub>, HfW<sub>2</sub>, NbCo<sub>2</sub>, NbCr<sub>2</sub>,  
NbFe<sub>2</sub>, NbMn<sub>2</sub>, TaCo<sub>2</sub>, TaCr<sub>2</sub>, TaFe<sub>2</sub>, TaMn<sub>2</sub>,  
TiCo<sub>2</sub>, WFe<sub>2</sub>, ZrCo<sub>2</sub>, ZrCr<sub>2</sub>, ZrFe<sub>2</sub>, ZrMn<sub>2</sub>,  
ZrMo<sub>2</sub>, ZrV<sub>2</sub>, ZrW<sub>2</sub> (Tm)

Elliott R.P., Rostoker W.

Trans. Amer. Soc. Metals. Vol. 50, Cleveland.  
Amer. Soc. Metals, 1958, 617-632. Disciss., 632-31  
The occurrence of laves-type phases among  
transition elements.

RX., 1959, 14341,

Be

Elliot R.K.

1960

A-916

Zr. c Be, B, Cr, Co, Cu, Ga;  
Ge, Au, Fe, Pb, Mn, Hg, Mo, Ni, P,  
Pt, Re, Ru, Se, Si, Ag, Ta, Sn, U, V, W,  
Zn (Tm)

Гименеги (Лютич.)

1960, 8, №9, 241.

71 soedinenii Zz.

Tm " крашанес.

онгурчиг.

RM., 1961, 7 88 Be

Горбунова кисиго.  
шемман. салганаан

Zz  
белий б. с-ке

VII 818 1964

Zr<sub>2</sub>Co, ZrCo, ZrCo<sub>2</sub>

(Tm)

Pechin W.H., Williams D.E.,  
Larsen W.L.

Trans. Amer. Soc., Metals, 1964, 57, 464-473.

The zirconium cobalt alloy system.

RM., 1965, 11U23

Be,

ЕСТЬ ФОТО.

VII XII-192

" $\text{ZrCo}_3$  b"  
t.g.  
1965

Кузбасс 10. б., Нах 4. 4., Барнаул  
10. б., Стадник 5. 4., Усл. стк  
СССР. Неогран. изгризаны, 1965,

1, 1112

М4

VII 3580 1965

$\text{CoZr}_3$ ,  $\text{CoZr}_2$ ,  $\text{CoZr}$  ( cr. str., Tm )

Куприна В.В., Баталева С.К., Соколова И.Г.,  
Изв. АН СССР, Неорган. материалы, 1965,  
1, № 9, 1554.

"Исследование сплавов системы цирконий-  
кобальт"

РХ, 1966, 5Б729

б, Al, Ml

Si (Ge) XZ

VII 4543

1967

X = Zr, Hf, Nb, Ta

Z = Co, Ni, Fe, Pt, Pd, Cu

(a, b, c)

Ganglberger E., Nowotny H.  
Benesovsky F.,  
Monatsh. Chem., 1967, 88, n1, 95-99



Mu

err6 cp.k.

VII 4481

1967

Zr<sub>4</sub>Co<sub>2</sub>N, Zr<sub>4</sub>Fe<sub>2</sub>N, Zr<sub>4</sub>Ni<sub>2</sub>N, gp.  
(a, b, c)

Holleck H., Thümmler F,  
Monatsh. Chem., 1967, 98, N1, 133-134

Mr

ЕСТБ Ф.И.

$(Zr_{1-x}Nb_x)Fe_2$ ;  $Zr(Fe_{1-x}Co_x)_2$  1969  
 $(T_{tr})$

Affieri G.T., Barnes E., Kanematsu<sup>K.</sup>

J. Appl. Phys., 1969, 40, 1322

T

VII 5954

1969

$\text{FeCo}_{0,3}\text{H}$

?

Доктор. ср-ва

Бондарев В.Н., Гасовкин В.С., Кашинин В.Н.,  
Лебедев В.А., Чирбах В.Н., Укр. физ. ж.  
1969, 14, №10, 1713-1715 (реж. анал).

К исследованию структуры карбид-  
рида  $\text{FeCo}_0,3\text{H}$ .

○ ~~ДМ~~ МИ

9M, 1970, 3467

VII 5872 (Ti, Zr, Nb, Ta) - (Ni, Co, Fe - <sup>19</sup>Si,  
Ducarpeneia coct. крист. сп-па

Zeitschke W., Yordan A. G., Beck 1  
Trans. Metallurg. & Soc. AIMM 1963  
245, Feb, 335-39.

U. B.

P. M. E. 1970

ZrCo<sub>2</sub>, Zr<sub>2</sub>Co, Zr<sub>2</sub>Co, Zr<sub>2</sub>Co<sub>11</sub>, Zr<sub>6</sub>Co<sub>25</sub>, Cr<sub>5</sub>Co 1970

Башталеева С.К., Кеширина В.В., Тм, крист срп.  
Маркин В.Я, Ромаев Г.Н, Бурнашев В.Д  
Кудиновъ С.И.

Вестник Июн. Унив. Ачинск:  
1940, II, N5, 557-561. VII 5956

"Физико-химическое исследование  
кобальт-чирониев"

РМ, 1971, 24/17

Al.

n

7

VII 5865

1970

ZrNi, ZrCo, ZrCo<sub>2</sub>Kmes. εγ-β<sup>a</sup>, T<sub>m</sub>

Harris I.R., Hussain D., Barraclough K.G.

"Scr. met.", 1970, 4, N4, 305-7

C<sub>60</sub>eme comabot. ZrNi, ZrCo, ZrFe.

O A 1 9

9PM, 1970, 11/14/43

7 VII 5875 1970

ZrNi<sub>2</sub>Sn, ZrCo<sub>2</sub>Sn, HfCo<sub>2</sub>Sn, NbCo<sub>2</sub>Sn, HfNi<sub>2</sub>Sn,  
NbNi<sub>2</sub>Sn, TiCo<sub>2</sub>Sn, TiNi<sub>2</sub>Sn, ZrNi<sub>2</sub>Sn, NbCo<sub>2</sub>Sn, NbZr<sub>2</sub>  
TiNi<sub>2</sub>Sn, HfNi<sub>2</sub>Sn, ZrSdSn

Груп. сп-ре

Feitschko W. Met. Trans' 1970, 1,  
n 11, 3159-3162 (амер.).

Составлено из предыдущих данных  
с добавлением титана из AgAs и  
ниобия.

○ № 20

VII, 1971, 52152

ZrCo<sub>3</sub>B<sub>2</sub>, HfCo<sub>3</sub>B<sub>2</sub> 7 криог. ср-ра 1970  
vii 5960

Воронцов В.Б., Клишевский Н.У.,  
Кузбасс Т.Б., Угольная промз.,  
1970, 15, N 5, 934-938

Упрочдающиеся структуры  
составленные ZrCo<sub>3</sub>B<sub>2</sub> и HfCo<sub>3</sub>B<sub>2</sub>.

At. № 8

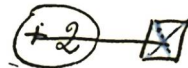
РМ 1971.2452

1971.

Zr<sub>2</sub>Rh  
Zr<sub>2</sub>Ir  
Zr<sub>2</sub>Co

(T<sub>c</sub>)

132109s Superconductivity and magnetic susceptibility of some zirconium-transition-metal compounds. Evidence for an anticorrelation. McCarthy, S. L. (Dep. Phys., Univ. California, La Jolla, Calif.). *J. Low Temp. Phys.* 1971, 4(5), 489-501 (Eng). The properties of the superconducting transition temps.,  $T_c$ , of the CuAl<sub>2</sub>-type compds. Zr<sub>2</sub>Co, Zr<sub>2</sub>Ni, Zr<sub>2</sub>Rh, Zr<sub>2</sub>Fe, and Zr<sub>2</sub>Ir are discussed with respect to effects due to alloying and heat treatment. Dil. pseudobinary alloys of transition metal elements with Zr<sub>2</sub>Rh ( $T_c = 11.3^\circ\text{K}$ ) produced lower transition temps., suggesting that the valence-electron concn. of 5.67 electrons/atom gives a max. in  $T_c$  for this crystal type. Results for Zr<sub>2</sub>Co ( $T_c = 5.0^\circ\text{K}$ ) and Zr<sub>2</sub>Ir ( $T_c = 7.3^\circ\text{K}$ ) show that their transition temps. are raised somewhat when the electron concn. is increased by alloying. A peak is seen near 5.72 electrons/atom. A peak in the room-temp. magnetic susceptibility in the Zr<sub>2</sub>Co-Zr<sub>2</sub>Ni system occurs near the same electron concn. as the peak in  $T_c$ . Similar susceptibility behavior takes place in the Zr<sub>2</sub>Rh-Zr<sub>2</sub>Ni system, however, with no peak in  $T_c$ . Results of



susceptibility measurements on  $Zr_2Ir$  and its isomorphic alloys indicate correlation between  $T_c$  and susceptibility. An anti-correlation occurs for  $Zr_2Co$  alloys, suggesting the presence of Coulomb interactions. A sharp sym. drop in  $T_c$  near the stoichiometric compn. as well as a marked decrease of the transition temp. with a low-temp. ( $600^\circ C$ ) anneal indicate that the Coulomb interactions are sensitive to cryst. order. The lattice parameters of  $Zr_2Ir$  are reported as  $a = 6.508$  and  $c = 5.721 \text{ \AA}$ . The supercond. of  $\underline{Zr_3Co}$  ( $T_c = 3.9^\circ K$ ) and  $\underline{Zr_3Ir}$  ( $T_c = 2.13^\circ K$ ) is reported.

XVII-2102

1976

ZrCo<sub>0.73</sub>O<sub>0.14</sub>, ZrCo<sub>0.835</sub>O<sub>0.06</sub>  
ZrCo<sub>0.98</sub>(Scf)

Oceansanga A.H., Dodecaboride

J. Nucl. Mater., 1976, 59, 11, 49-60



cm

$\text{Co}[\text{ZrF}_6] \cdot 6\text{H}_2\text{O}$  Leon M.A. et al 1977

Leon, 1977, 37, N430-431,  
269-272

$T_m$

●  $\frac{T}{\text{Co}[\text{ZrF}_6] \cdot 6\text{H}_2\text{O}}$

$\text{CoZrF}_6 \cdot 6\text{H}_2\text{O}$       Domnick 15159      1977

Roy S.K.D., Pal A.,  
et al.,

$T_{cr}$ ; *J. Phys. C: Solid State.*  
*Phys.*, 1977, 10, N 15,

● 403-405.

*CoZrD<sub>3</sub>*

*1978*

90: 14893p Structure of cobalt zirconium hydride-d<sub>3</sub> (Co-ZrD<sub>3</sub>). Irodova, A. V.; Somenkov, V. A.; Shil'shtein, S. Sh.; Padurets, L. N.; Chertkov, A. A. (USSR). *Kristallografiya* 1978, 23(5), 1044-5 (Russ). The structure of CoZrD<sub>3</sub> was detd. by x-ray and neutron powder diffractometry. The x-ray data were refined to an *R* of 0.076. The crystals are orthorhombic, space group *Cmcm*, with *a* 3.53, *b* 10.48, and *c* 4.30; *Z* = 4. The compd. is isostructural with NiZrH<sub>3</sub>. The crystals are ferromagnetic with Curie temp.  $\approx$ 100°.

*Tcierie*



*C.A., 1979, 90, N2*

$Zr(Fe_{1-x}Co_x)_2$  [ommited 8618] 1979

Tc=10  
Meiss. cb-fa

Muraoka Y; et al.

J. Phys. F: Metal Phys.  
1979, 9(9), 1889 -1904.

ZrCoH<sub>3</sub>

ZrNiH<sub>3</sub>

(ΔH)



⊕

13 Б774. Изотермы диссоциации в системах ZrNi—<sup>1930</sup>  
H<sub>2</sub>(D<sub>2</sub>) и ZrCo—H<sub>2</sub>(D<sub>2</sub>). Кост М. Е., Падурец Л. Н.,  
Чертков А. А., Михеева В. И. «Ж. неорган. хи-  
мин», 1980, 25, № 3, 847—849

Статическим методом измерены давл. диссоциации в системах ZrNi—H<sub>2</sub>(D<sub>2</sub>) и ZrCo—H<sub>2</sub>(D<sub>2</sub>) в интервале т-р 150—30°. Изотермы десорбции показали образование одной гидридной фазы в системах ZrCo—H<sub>2</sub>(D<sub>2</sub>) состава ZrCoH<sub>3-x</sub> и ZrCoD<sub>3-x</sub>. В системах ZrNi—H<sub>2</sub>(D<sub>2</sub>) образуются 2 гидридные фазы состава ZrNiH(D) и ZrNiH<sub>3-x</sub>(D<sub>3-x</sub>). Во всех системах наблюдается изотопный эффект. Ход изотерм в системах с D<sub>2</sub> аналогичен таковому в системах с H<sub>2</sub>, но значения давл. диссоциации дейтеридов заметно выше. Из зависимостей  $\lg p - 1/T$  рассчитаны теплоты р-ций  $ZrCo + 3/2 H_2 \rightleftharpoons ZrCoH_3$  и  $ZrNiH + H_2 \rightleftharpoons ZrNiH_3$ , равные —26,1 и —22,8 ккал/моль H<sub>2</sub>, и соотв. для дейтеридов —23,7 и —17,1 ккал/мол D<sub>2</sub>. Гидридные фазы стехиометрич. состава ZrCoH<sub>3</sub> и ZrNiH<sub>3</sub> получены при медленном охлаждении образцов в атмосфере H<sub>2</sub> ( $p \approx 1$  атм) от 300—350° до комн. температуры.

Из резюме

Р99-XVII-2034

Х 1980 N 13

$\text{CoZr}_x$

1981

Gackor J. C., et al.

J. of Cr. Calorim. Anal.

Therm. 1981, 12, HT3<sub>1</sub> -

$\Delta fH_f$ ; HT3<sub>γ</sub>.

(Cu, Fe Ti<sub>x</sub>;  $\bar{I}$ )

*CoZrX*

*1982*

12 Б939. Энталпии образования промежуточных фаз  $\text{Co}_{0.33}\text{Zr}_{0.67}$ ,  $\text{Co}_{0.50}\text{Zr}_{0.50}$ ,  $\text{Co}_{0.67}\text{Zr}_{0.33}$  и  $\text{Co}_{0.80}\text{Zr}_{0.20}$ , определенные методом прямой реакционной калориметрии при высокой температуре. The enthalpies of formation of the intermediate phases  $\text{Co}_{0.33}\text{Zr}_{0.67}$ ,  $\text{Co}_{0.50}$ ,  $\text{Zr}_{0.50}$ ,  $\text{Co}_{0.67}\text{Zr}_{0.33}$  and  $\text{Co}_{0.80}\text{Zr}_{0.20}$  by direct reaction calorimetry at high temperature. Gachon J. C., Dirand M., Hertz J. «J. Less—Common Metals», 1982, 85, № 1, 1—9 (англ.)

*ΔHf*

Энталпии образования сплавов  $\text{Co}_{0.33}\text{Zr}_{0.67}$  (I),  $\text{Co}_{0.50}\text{Zr}_{0.50}$  (II),  $\text{Co}_{0.67}\text{Zr}_{0.33}$  (III) и  $\text{Co}_{0.80}\text{Zr}_{0.20}$  (IV) измерены методом прямого измерения теплоты р-ции в ранее описанном калориметре. Спрессованные таблетки из смеси металлич. порошков сбрасывались в калориметр в атмосфере Ar при т-ре, близкой к т. пл. сплава соотв-щего состава. После коррекции измеренной энталпии на теплосодержание металлов получали  $ΔH$ (обр.) сплавов. Сплавы охарактеризованы рентгенографически и методом микрозондового хим. анализа. Установлено

*X. 1983, 19, № 2*

присутствие в сплавах примесей др. фаз в малых кол-вах. Вследствие близости  $\Delta H$  (обр.) всех четырех сплавов влиянием этих примесей на  $\Delta H$  (обр.) пренебрегали. Приведены  $\Delta H$  (обр., кДж/моль) — 1-ая цифра и т-ра р-ции (2-я цифра) для I —  $33,0 \pm 2,0$  1290 К; для II —  $42,2 \pm 1,0$ ; 1512 К; для III —  $41,0 \pm 2,0$  1700 К и для IV —  $29,8 \pm 1,5$ ; 1596 К. Полученные данные значительно отличаются и находятся между лит. экспериментальными и оценочными по теории Миедемы. Ход изменения оценочных данных от I к IV согласуется с полученными результатами. Надежность использованной методики и отсутствие окисления в условиях опыта подтверждено рентгенографически и согласованием величины  $H$  ( $B = Zr$ , тв., 1700 К) —  $H(x-Zr, \text{тв.}, 297,5 \text{ K}) = 45029 \pm 1000$  Дж/моль с лит. 46246.

Л. А. Резнишкий

$ZrC_{0.9}$

1982

5 Б806. Термодинамика твердофазных неорганических реакций, инициируемых световым излучением. Видавский Л. М., Короткевич И. И., Спицын В. И. «9 Всес. конф. по калориметрии и хим. термодинам., Тбилиси, 14—16 сент., 1982. Расширен. тез. докл.» Тбилиси, 1982, 60—61

Изучена протекающая в калориметре р-ция между  $Zr$  и алмазом  $Zr+0.9C = ZrC_{0.9}$ . Разработан способ инициирования р-ции в калориметре световым потоком, обеспечивающим требуемую для инициирования высокую т-ру и бесконтактный подвод необходимого кол-ва энергии.

А. С. Гузей

термодинамика  
твердофазных  
неорганических  
реакций

Х. 1983, 19, N5

Co-Zr

1983

Gachon J. C., Mertz J.

CALPHAD: Comput.

Coupling Phase Diagrams

Thermochem. 1983, Z(1),

1-12

(cu. Fe-Ti; T)

РГР  
Лот

(dm. 24559)

1986

Тюнозов Р. А., Засыпка-  
лов И. В. и др.

ДН.  
Ж. Орн. Краснодар, 1986,  
60, № 8, 1865–1867.  
•

Giecmura

1987

$\chi_2 - C$

Kuentzler R., Amador A.,  
Clad R., et al.,

Gp;

Phys.-F: Met. Phys.,  
1987, 17(2), 459-474.

C.A.: 1987, 106, N 18, 147738h

n<sup>18</sup>

4106: Electronic structure, Superconductivity  
147738n and Magnetism in the Zirconium-Cobalt  
and Kuentzler R., Amamou A.; Clad R., Turek P.  
Zr-Co. Phys. F: Met. Phys. 1987, 17(2), 459-74.

(P) low-temp. sp. heat of cryst. Zr-Co system was studied, and the results are analyzed in terms of the magnetic properties, which were deduced for  $ZrCo_3$  and  $ZrCo_4$ . Two regions in Zr-Co system: Zr-rich  $\rightarrow$  superconduc-

and Co-rich  $\rightarrow$  ferromagnetic. Two slight bumps  
of the electronic sp. heat coeff.  $\gamma$  are obsd.  
One corresponds to  $Zr_2Co_3$ , which has a high  
supercond. temp.  $T_{c3}$  and a low Debye temp.  $\Theta_D$ ,  
and the other corresponds to  $ZrCo_2 \rightarrow$  ferrromagn.

The  $ZrCo$  compd. shows an unexplained high  $\gamma$  value

(Daniel finger.  Donrobathne ...)

Zr<sub>2</sub>Co

1987

Zr<sub>2</sub>Co

Kuentzler R., Anamola,  
et al.,

Zr<sub>2</sub>Co<sub>4</sub>

J. Phys. F: Met. Phys.  
1987, 17(2), 459-74.

(C<sub>p</sub>, O<sub>D</sub>) Electronic structure, superconductivity and magnetism in the Zr-Co system.  
CA. 1987, 106, N18, 147738n

$\text{CoZr}_3$

1986

Сујесић-  
Бобан.  
Мб. гајов

Matkovic Tanja,  
Resic-Racar Milica,  
et al.

Metalurgija (Sisak,  
Yugosl.) 1986, 25 (3),



87-91.

(св.  $\text{FeZr}_3$ ;  $\text{II}$ )

$\text{CoZrF}_6 \cdot 6\text{H}_2\text{O}$

[Om. 26768]

1987

Roy S.K.D., Ghosh B.,

Pramana J. Phys., 1987,  
28, NS, 573-581.

G;

$\text{Fe}_{90-x}\text{Co}_x\text{Zr}_{10}$

Mr. 29304 1988

108: 174612q Low-temperature specific heat of amorphous iron-cobalt-zirconium ( $\text{Fe}_{90-x}\text{Co}_x\text{Zr}_{10}$ ). Rosenberg, M.; Hardebusch, U.; Schone-Warnsfeld, A.; Wernhardt, R.; Fukamichi, K. (Ruhr-Univ. Bochum, 4630 Bochum, Fed. Rep. Ger.). *J. Phys. F: Met. Phys.* 1988, 18(2), 259-73 (Eng). The enhancement of the coeff.  $\gamma$  of the linear term in the sp. heat of amorphous  $\text{Fe}_{90-x}\text{Co}_x\text{Zr}_{10}$  alloys for  $x < 30$  is due to a magnetic term in the form of a broad Schottky-type anomaly giving rise to a contribution which decreases with increasing Co concn. The practically const. value of the coeff.  $\gamma_E$  of the electronic term for  $x \geq 30$  was interpreted in terms of large contributions of the projected d. of states of Fermi electrons at the Fe and Co sites arising from the lack of much structure in the d. of states of the 3d electrons in the disordered amorphous structure of these alloys. From the evaluated d. of states one expects a change from a weak ferromagnet (according to the Stoner criterion) to a strong one around  $x = 20$ . The magnetic contributions result from the magnetic inhomogeneous structure of these alloys at the at. scale as shown by recent Mössbauer and NMR studies.

(G)

C.A. 1988, 108, N 20

ZrCoH<sub>3</sub>

1989

112: 105991h Hydrogen isotopes in pure and nitrided zirconium-cobalt (ZrCo). Devillers, M.; Sirch, M.; Penzhorn, R. D. (Inst. Radiochem., Kernforschungszent. Karlsruhe, D-7500 Karlsruhe, Fed. Rep. Ger.). *Z. Phys. Chem. (Munich)* 1988 (Pub. 1989), 164(2), 1355-60 (Eng). High pressure expts. with H showed that in CoZr the max. attainable loading capacity is described by the stoichiometric formula CoZrH<sub>3</sub>. In line with the higher entropy of gaseous D, it was found that the D<sub>2</sub>/CoZr absorption isotherms lie above those of H<sub>2</sub>/CoZr. At least 99.95% of the H present in CoZrH<sub>3</sub> can be recovered by pumping on the hydride at 450°. Irreversible trapping of H was quantified with <sup>3</sup>H labeled gas. While exposure to contaminants such as methane or N reduces the loading capacity of CoZr for H, the plateaus of the p/c isotherms are only raised at temps. above 200°.

(P, k<sub>P</sub>)

c.A.1990, 112, N12

Co-Zr  
(at. Crustab)

(Pm. 31723)

1989

III: 13290e Partial and integral heats of alloying of cobalt with zirconium. Esin, Yu O.; Sidorov, O. Yu.; Valishev, M. G.; Gel'd, P. V. (Ural. Politel h. Inst., Sverdlovsk, USSR). *Teplofiz. Vys. Temp.* 1989, 27(2), 394-6 (Russ). High-temp. calorimetry was used to det. the compn. dependence of the partial and integral heats of formation of liq. alloy of Co with Zr. The 1st partial heat of soln. of Zr in liq. Co at 1963 K is -(131 ± 6) kJ/g.atom. The min. value of the heat of alloying occurs at 49.1 at.% Zr and is -(39.8 ± 0.7) kJ/g.atom Zr. Values are tabulated for the alloys contg. 0-50 at.% Zr.

(Δ<sub>f</sub>H)

C.A. 1989, III, N2

ZrCo<sub>x</sub>

Лот 31723 / 1989

7 И164. Парциальные и интегральные энталпии образования жидких сплавов циркония с кобальтом / Есин Ю. О., Сидоров О. Ю., Валишев М. Г., Гельд П. В. // Теплофиз. высок. температур.— 1989.— 27, № 2.— С. 394—396

Методом высокотемпературной калориметрии исследованы концентрационные зависимости парциальных и интегр. энталпий образования жидких сплавов Zr с Co. Проведенный в рамках приближения когер. потенциала расчет  $\Delta H(x)$  показал, что экспериментально полученные концентрационные зависимости энталпий можно описать, учитывая лишь перестройку *d*-зоны исходных компонентов при их сплавлении.

44

cf. 1989, N 7

$\text{Co}_{0,5} \text{Zr}_{0,5}$  1989

Седоров О.Ю.,  
Ессеи М.О. 4 гр.

$\Delta H_f$ ; Гастроб. 1989. №3.  
c. 28-33.

(см.  $\text{Fe}_{0,67} \text{Zr}_{0,33}$ ,  $\text{I}$ )

$ZrCo_x$

1990

Gaertner F., Bormann

( $\Delta G_f$ ) Colloq. Phys. 1990, 95-9.

Cerr.  $\bullet ZrNi_x$ ; ?)

CoZrF<sub>6</sub>

1990

З Е734. Структурно-фазовые превращения в упорядоченных флюоридах  $M^{II}ZrF_6$  ( $M^{II}=Co, Zn$ ). I. Структурное исследование. Structural phase transition in the ordered fluorides  $M^{II}ZrF_6$  ( $M^{II}=Co, Zn$ ). I. Structural study / Rodriguez V., Couzi M., Tressaud A., Grannec J., Chaminade J. P., Soubeyroux J. L. // J. Phys. Condens. Matter. — 1990. — 2, № 36. — С. 7373—7386. — Англ.

Порошки соединений  $CoZrF_6$  и  $ZnZrF_6$  синтезированы методом твердофазных реакций при 1020 К между  $CoF_2$  (либо  $ZnF_2$ ) и  $ZrF_4$ . Монокристаллы  $CoZrF_6$  получены методом Бриджмена. Микрокалориметрическим методом и ДТА установлено, что в  $CoZrF_6$  при  $T_c=272\pm1$  К происходит фазовый переход первого рода порядок-беспорядок. В  $ZnZrF_6$  переход наблюдается при нагреве,  $T_c=310\pm1$  К. Рентгенодифрактометрические и нейронографические исследования показали, что в процессе фазового перехода кубич. фаза ( $Fm\bar{3}m$ ) перестраивается в ромбоэдрическую ( $R\bar{3}$ ). Из структурных исследований определены три параметра порядка. Показано, что структура состоит из закономерно ори-

T<sub>2</sub>

⊗(4)

φ. 1991, № 3

ZnZrF<sub>6</sub>

ентированных октаэдров  $\text{Co}(\text{Zr})\text{F}_6$ , в которых упорядочено расположены металлич. катионы Co (либо Zn) и Zr. Перестройка кубич. решетки в ромбоэдрическую описывается деформацией решетки  $l_s$ , а также параметрами  $Q$  и  $R$ , описывающими смещение и поворот вокруг тройной оси в решетке атомов F. При изменении т-ры меняются параметры  $l_s$  и  $R_s$ , а параметр  $Q$  остается неизменным. Библ. 22.

Н. Т.

пер.  
ения  
'аци'

CoZrF<sub>6</sub>

1990

6 Б3162. Структурный фазовый переход в упорядоченных фторидах  $M^{II}ZrF_6$  ( $M^{II}=Co, Zn$ ). I. Структурное исследование. Structural phase transition in the ordered fluorides  $M^{II}ZrF_6$  ( $M^{II}=Co, Zn$ ): I. Structural study / Rodriguez V., Couzi M., Tressaud A., Granpec J., Chaminade J. P., Soubeyroux J. L. // J. Phys. Condens. Matter.— 1990.— 2, № 36.— С. 7373—7386.— Англ.

T<sub>t2</sub>

В диапазоне т-р 10—300 К методами порошковой нейтронографии и диффузного рентгеновского рассеяния исследовано фазовое поведение CoZrF<sub>6</sub> (I) и Zn-ZrF<sub>6</sub> (II). I вблизи комн. т-ры испытывает сегнетоэластич. структурный переход 1-го рода из кубич. фазы с пр. гр.  $Fm\bar{3}m$  в ромбоэдрич. модификацию с пр. гр.  $R\bar{3}$ . Как установлено, для полной х-ки степени искажения ромбоэдрич. фазы необходимо определить три параметра порядка: спонтанную деформацию, коорди-

(4) 18

X.1991, N 6

наты вращения октаэдров  $MZrF_6$  вокруг их оси симметрии и координаты внутр. деформации октаэдров. При изменении т-ры сильно изменяются первые два параметра порядка, в то время как изменения деформации октаэдров почти нет. Как показали данные рентгеновского исследования, дополнит. вклад в механизм превращения дает структурное разупорядочение октаэдров в кубич. фазе.

По резюме



*CoZrF<sub>6</sub>*

*1990*

14 E750. Структурный фазовый переход в упорядоченных флюоритах  $M^{II}ZrF_6$  ( $M^{II}$ =Co, Zn). II. Бриллюэновское и комбинационное рассеяние. Structural phase transition in the ordered fluorides  $M^{II}ZrF_6$  ( $M^{II}$ =Co, Zn). II. Brillouin and Raman scattering study / Rodriguez V., Couzi M., Tressaud A., Grannec J., Chaminade J. P., Ecolivet C. // J. Phys. Condens. Matter. — 1990. — 2, № 36. — С. 7387—7394. — Англ.

В продолжение эксперим. исследования структурного перехода сегнетоэластич. типа, происходящего в смешанных флюоритах  $CoZrF_6$  и  $ZnZrF_6$  с упорядоченной структурой типа  $ReO_3$ , проведённого в предыдущей работе, измерены спектры рассеяния вблизи т-ры перехода. Установлено, что упругий модуль  $C_{44}$  в высокотемпературной фазе не меняется вблизи точки превращения. Характер расщепления спектра КРС указывает, что переход имеет тип несобственного сегнетоэластич. перехода, при котором первичным является вращение октаэдрич. групп, вызывающих деформацию решетки.

А. Б.

*cf. 1991, N 4*

*CoZrF<sub>6</sub>*

1990

6 Б3163. Структурный фазовый переход в упорядоченных фторидах  $M^{II}ZrF_6$ . ( $M^{II}=Co, Zn$ ). II. Исследование бриллюэновского и рамановского рассеяния. Structural phase transition in the ordered fluorides  $M^{II}ZrF_6$  ( $M^{II}=Co, Zn$ ): II. Brillouin and Raman scattering study / Rodriguez V., Couzi M., Tressaud A., Grannec J., Chaminade J. P., Ecolivet C. // J. Phys. Condens. Matter.— 1990.— 2, № 36.— С. 7387—7394.— Англ.

В диапазоне т-р 20—400 К методами спектроскопии КР и бриллюэновского рассеяния исследовано фазовое поведение монокристаллов и порошков  $CoZrF_6$  (I) и порошков  $ZnZrF_6$  (II). При  $T_c=272$  в I и 310 К в II наблюдается сегнетоэластич. структурный фазовый переход 1-го рода от высокот-рной кубич. фазы с пр. гр.  $Fm\bar{3}m$  к низкот-рной ромбоэдрич. фазе с пр. гр.  $R\bar{3}$ . В монокристалле I в кубич. фазе упругая пост.  $C_{44}$  не изменяется при достижении  $T_c$ . Спектры КР I и II

(4) ~~✓~~

X. 1991, № 6

согласуются с предсказаниями группового анализа. В спектре ромбоэдрич. фазы проявляется расщепление трижды вырожденной деформац. моды октаэдра  $MZrF_6$ . Показано существование двух мягких вращат. мод этого октаэдра. Переход несобственный, движущей силой его является вращение октаэдра, возможно, он занимает промежут. положение между переходами смещения и порядок — беспорядок.

Резюме

*CoZrF<sub>6</sub>*

*1990*

4 E751. Структурный фазовый переход в упорядоченных флюоритах  $M^{II}ZrF_6$  ( $M^{II}=Co, Zn$ ). III. Теория Ландау. Structural phase transition in the ordered fluorides  $M^{II}ZrF_6$  ( $M^{II}=Co, nZ$ ). III. Landau theory / Rodriguez V., Couzi M. // J. Phys. Condens. Matter.— 1990.— 2, № 36.— С. 7395—7406.— Англ.

Развивается феноменологическая теоретико-групповая модель структурного фазового перехода между фазами с симметрией  $Fm\bar{3}m$  и  $R\bar{3}$  в смешанных кристаллах  $(Co, Zn)ZrF_6$ , экспериментально изученного в двух предыдущих работах (Ч. II см. реф. 4E750). Функционал свободной энергии записан в форме разложения Ландау с двумя связанными параметрами порядка: однородной деформацией и вращением октаэдрич. групп  $M^{II}F_6$ . Анализ построенной фазовой диаграммы и рассчитанных изменений параметров порядка с т-рой подтвердили первый род перехода и его несобственный сегнетоэластич. характер. Отмечается хорошее согласие расчетных и наблюдаемых свойств перехода.

А. Б.

*φ. 1991, № 4*

*Zn ZrF<sub>6</sub>*

Лоттф

Фазовый  
переход

Х. 1991, № 6  
 7

1990

6 Б3164. Структурный фазовый переход в упорядоченных фторидах  $M^{II}ZrF_6$  ( $M^{II}=Co, Zn$ ). III. Теория Ландау. Structural phase transition in the ordered fluorides  $M^{II}ZrF_6$  ( $M^{II}=Co, Zn$ ): III. Landau theory / Rodriguez V., Couzi M. // J. Phys. Condens. Matter. — 1990. — 2, № 36. — С. 7395—7406. — Англ.

Основываясь на концепциях теории Ландау, включая два взаимодействующих параметра порядка (упругая деформация симметрии  $F_{2g}$ ) и координата  $F_{1g}$  вращения октаэдра  $HZrF_6$ , предложена микроскопич. модель перехода в  $MZrF_6$  ( $M=Co, Zn$ ) из высокот-рной кубич. фазы (упорядоченной, типа  $ReO_3$ ) с пр. гр.  $Fm\bar{3}m$  в низкот-рную ромбоэдрич. модификацию с пр. гр.  $\bar{R}\bar{3}$ . Модель позволяет рассмотреть этот переход как превращение 1-го рода, вместе с его несобственным сегнетоупругим характером. Кроме того, получены выражения для определения статич. и динамич. св-в параметров порядка, к-рые согласуются с ранее полученными эксперим. результатами (данные РФА, нейтронографии, спектроскопии КР и бриллюэновского рассеяния).

Резюме

Лоттф

Zr<sub>2</sub>Co<sub>11</sub>

1991

10 Б2014. Структуры интерметаллических соединений Zr<sub>2</sub>Co<sub>11</sub> и HfCo<sub>7</sub>. Structures of Zr<sub>2</sub>Co<sub>11</sub> and HfCo<sub>7</sub> intermetallic compounds /Demczyk B. G., Cheng S. F. //Appl. Crystallogr. — 1991 .— 24 , № 6 .— С. 1023—1026 .— Англ.

Просвечивающей электронной микроскопией исследованы сплавы номинальных составов Zr<sub>2</sub>Co<sub>11</sub> (I) и HfCo<sub>7</sub> (II) и определены их крист. структуры электронной дифракцией. Оба соед. I и II ромбич. ф. гр. Pcna, в отличие от лит. данных. Определены параметры решетки I а 0,48; b 0,82; c 1,8 нм и II 0,47; 0,83; 3,8 нм, соотв. Элементарные ячейки I и II, по-видимому, состоят из двух длинно-периодичных сверхрешеток, находящихся в антифазном отношении одна к др. вдоль [001], аналогично CuAu II.

Ф. М. Спиридонов

структура

(#)



X. 1993, N 10

1991  
10.2.16

1991

19 Б3120. Структурный фазовый переход в упорядоченных фторидах  $M^{2+}ZrF_6$  ( $M^{2+}=Co, Zn$ ). Structural phase transition in the ordered fluorides  $M^{II} ZrF_6$  ( $M^{II}=Co, Zn$ ) /Rodriguez V., Couzi M., Sourisseau C., Tressaud A., Granec J., Chaminade J. P., Soubeyroux J. L., Ecolivet C. //Phase Transit. B.—1991.—33, № 1—4.—C. 85—90.—Англ.

В диапазоне  $T=4,2—400$  К методами ДТА, нейтронографии, диффузного рентгеновского и бриллюэновского рассеяния и спектроскопии КР исследовано фазовое поведение порошков и монокристаллов  $CoZrF_6$  и  $ZnZrF_6$ . При  $T_c=272$  в первом и  $310$  К во втором происходит фазовые переходы 1-го рода (вследствие перехода монокристаллы разрушаются) из упорядоченной структуры типа  $ReO_3$  с пр. гр.  $Fm\bar{3}m$  в ромбоздрич. фазу с пр. гр.  $R\bar{3}$ . Переход обладает тремя параметрами порядка: спонтанной деформацией, координатой вращения октаэдра  $Co(Zr)F_6$  и координатой внутр. деформации этого октаэдра. Вращение дает вклад в механизм перехода смещения, а остальные параметры порядка определяют механизм перехода порядок — беспорядок. Предложена феноменологич. модель наблюдаемого несобственного сегнетоэластич. превращения.

В. А. Ступников



X. 1992, N 19

CoZrF<sub>6</sub>

1991

9 E587. Структурно-фазовые переходы в упорядоченных флюоритах  $M^{II}ZrF_6$  ( $M=Co, Zn$ ). Structural phase transition in the ordered fluorides  $M^{II}ZrF_6$  ( $M^{II}=Co, Zn$ ) / Rodriguez V., Couzi M., Sourisseau C., Tressaud A., Grannec J., Chaminade J. P., Soubeuyoux J. L., Ecolivet C. // Phase Transit. B.— 1991.— 33, № 1—4.— С. 85—90.— Англ.

Методами ДТА, рентгendifрактометрии, диффузного рассеяния рентгеновских лучей и нейтронографии, а также спектроскопии КР изучены особенности фазового перехода кубич. фазы  $Fm\bar{3}m$  в ромбоэдрическую в поликристаллич. образцах  $CoZrF_6$  и  $ZnZrF_6$  и монокристаллах  $CoZrF_6$ . Т-ра фазового перехода  $T_c=272\pm 1$  К для  $CoZrF_6$  и  $310\pm 1$  К для  $ZnZrF_6$ . Переход описывается проявлением внутренних деформаций  $l_s$  и наличием поворотов вокруг тройной оси  $R$ . Для кубич. фазы  $Fm\bar{3}m$  параметры порядка  $e=0$  и  $R=0$ , а для ромбо-

☒

(4)

φ. 1992, N 9

эдрич. фазы существуют две модификации:  $R\bar{3}m$  ( $e \neq 0$ ,  $R=0$  (II) и  $R\bar{3}$  ( $e \neq 0$ ,  $R \neq 0$  (III)). Предложена феноменологич. модель, описывающая фазовый переход. Расчеты по модели свободной энергии Ландау показали, что это переход 1-го рода. Эксперим. данные для  $\text{CoZrF}_6$  хорошо совпадают с расчетами по модели, а для  $\text{ZnZrF}_6$  такого совпадения не наблюдается.



Oct 25

1992

116: 1176&5g Thermodynamic investigations of the phase transition in ferroelastic cobalt zirconium fluoride ( $\text{CoZrF}_6$ ). Gorev, M. V.; Flerov, I. N.; Tressaud, A.; Grannec, J.; Rodriguez, V.; Couzi, M. (L. V. Kirenskii Inst. Phys., 660036 Krasnoyarsk, USSR). *Phys. Status Solidi B* 1992, 169(1), 65-71 (Eng). The heat capacity and the pressure dependence of the phase transition temp. of  $\text{CoZrF}_6$  were measured. The 1st order phase transition  $Fm\bar{3}m \rightarrow R\bar{3}$  is characterized by large values of both the entropy change  $\Delta S = (5.8 \pm 0.8) \text{ J mol}^{-1} \text{ K}^{-1}$  and the rate of increase of the transition temp.  $T_0$  with applied hydrostatic pressure,  $dT_0/dp$  of the spin dynamics according to the model by A. J. Millis et al. (1991) describing NMR expts. The temp. dependence of the arbitrary-wavelength-spin-fluctuation resistivity in two dimensions is quadratic at low temps. and linear at high temps. The abs. resistivity values are calcd. to be of the exptl. obsd. magnitude in La Sr Cu oxide and YBCO compds. Thus, the in-plane resistivity in Cu oxide superconductor, in particular the obsd. nonlinear temp. dependences, may be explained by two-dimensional spin-fluctuation scattering in the Fermi-liq. picture.

( $T_{c2}$ ,  $\Delta_{c2}$ )

C.A. 1992, 116, N12

$\text{P}_2\text{O}_{24}(\text{PO}_4)_6$  1992  
Nomura K., Ikeda S., et al;

Bull. Chem. Soc. Jap.,  
1992, 65, N12, C. 3221-3227  
 $T_{\text{d}2}$

(cell.   $\text{Mg}_2\text{P}_{24}(\text{PO}_4)_6; \text{T})$

$\text{Co-Zr}$  (al. creat)

1993

118: 199471n Calorimetric determination of the mixing enthalpy of liquid cobalt-zirconium alloys. Lueck, Reinhard; Wang, Hai; Predel, Bruno (Inst. Werkstoffwiss., Max-Planck-Inst. Metallforsch., Stuttgart, Germany). *Z. Anorg. Allg. Chem.* 1993, 619(3), 447-52 (Ger). The heats of formation of liq. Co-Zr alloys were measured at 1600° for the compn. range 0-30 at.% Zr. The data were fitted by the least squares method by power series suitable for thermodyn. functions. The confidence interval for extrapolation of the enthalpies of formation has been detd. for 95% probability and graphically represented through the whole compn. range. The  $\alpha$ -function ( $\alpha = \Delta H / X_{\text{Zr}} X_{\text{Co}}$ ) as well as a modified  $\alpha$ -function which takes the difference of the at. vols. into account did not confirm that there is clustering or chem. short range ordering in the liq. Co-Zr alloys but there is evidence of the influence of at. size difference.

(Δmix H)

C.A. 1993, 118, N20

Zr<sub>2</sub>As

1998

Kleinke H. et al.,

CMC-PA,  
Chem. Z. Anorg. Allg. Chem.  
1998, 624(1), 57-56.

(all. Zr<sub>2</sub>FeAs; I)

ZrAlNiCuCo  
chubab

1999

(G)

131: 24198v Specific heat measurements of ZrAlNiCuCo alloy.  
Zhao, Ming; Li, Jianjun; Jiang, Qing (School of Materials Science and  
Engineering, Jilin University of Technology, Changchun, Peop. Rep.  
China 130025). *Trans. Nonferrous Met. Soc. China* 1999, 9(1), 48-51  
(Eng), Transactions of Nonferrous Metals Society of China. Sp. heats  
of undercooled liq., crystal, and glass states for the ZrAlNiCuCo alloy  
are measured by a calorimeter. Different heating rates are used to  
enlarge the measuring temp. range of sp. heat for an undercooled liq.  
The sp. heat data of the glass with a zero heating rate are obtained by  
extrapolating the measured sp. heat data of the glass with different  
heating rates.

C.A. 1999, 131, N2